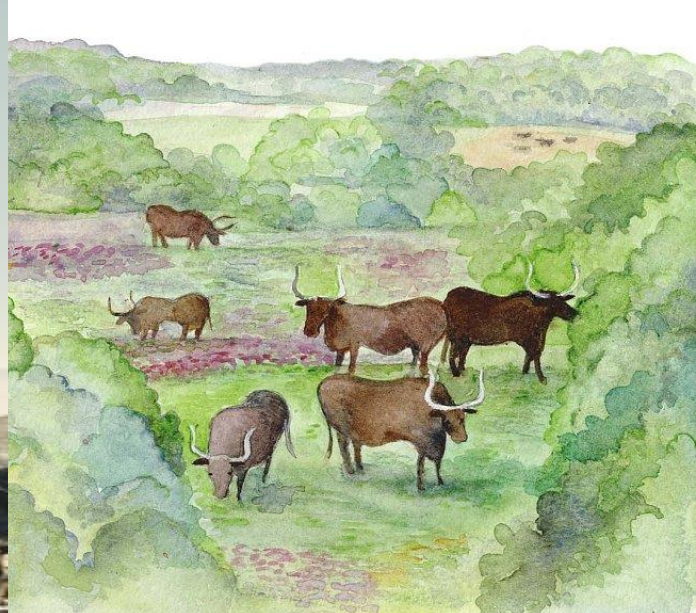


Příroda ve čtvrtohorách



Michal Horsák & Jan Roleček
UBZ PřF MU, Brno

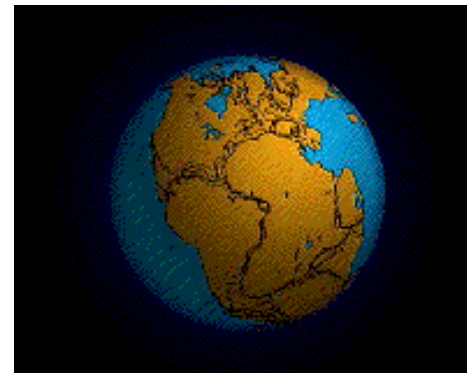
II. přednáška – obsah, literatura

Změny klimatu v historii Země: podrobné změny od mladších třetihor a jejich příčiny, členění kvartéru, geologické procesy

viz text na Wikipedii:
detailní datace geologických období:
http://cs.wikipedia.org/wiki/Geologick%C3%BD_%C4%8Das

a také poutavý dokument Davida Attenborougha – The first life

The screenshot shows the header of the Wikipedia article 'Geologický čas'. Below it is a large stratigraphic chart titled 'Stratigrafická tabulka'. The chart displays geological time periods from Precambrian to Holocene. Major eons (Hadean, Archaean, Proterozoic, Phanerozoic) are shown in yellow, major eras in orange, and major periods in green. The Phanerozoic eon is expanded to show the Paleozoic, Mesozoic, and Cenozoic eras, each with its own periods. A legend at the top right defines colors for different geological units. The chart also includes a note about the IUGS definition of the Anthropocene period.

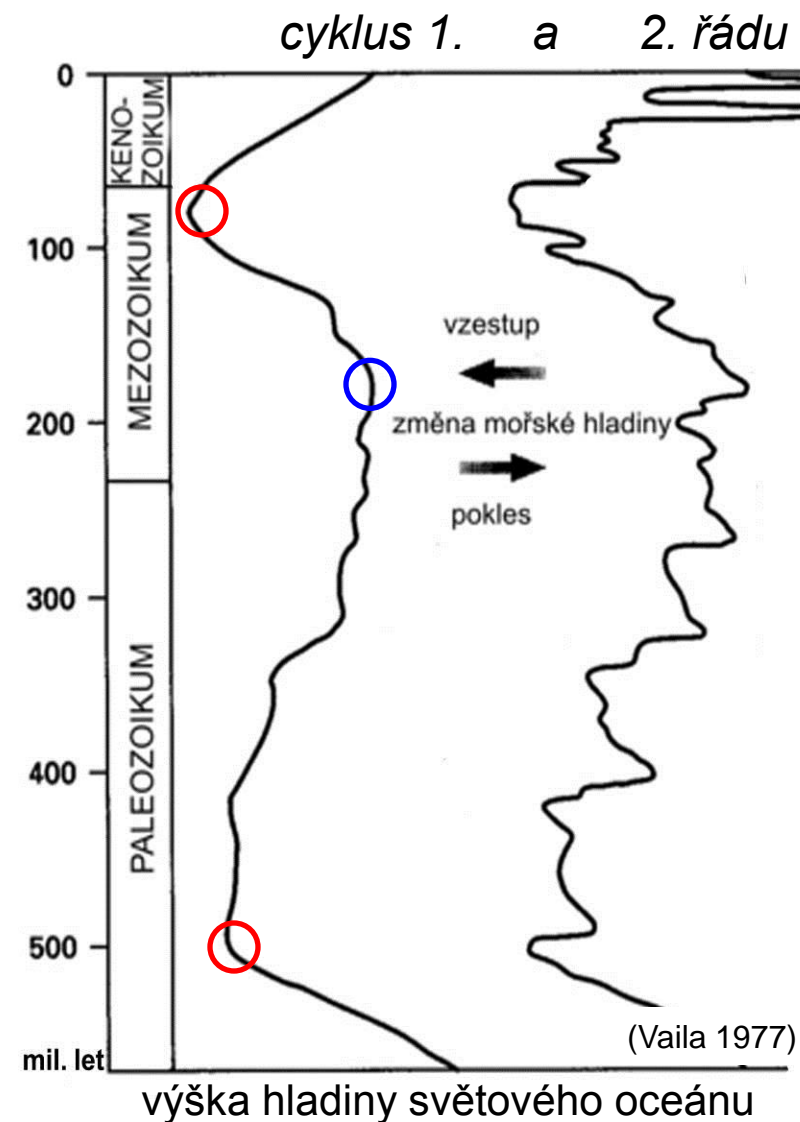


*rozpad superkontinentu
Pangea před 200 mil. lety*
http://cs.wikipedia.org/wiki/Soubor:Pangea_animation_03.gif



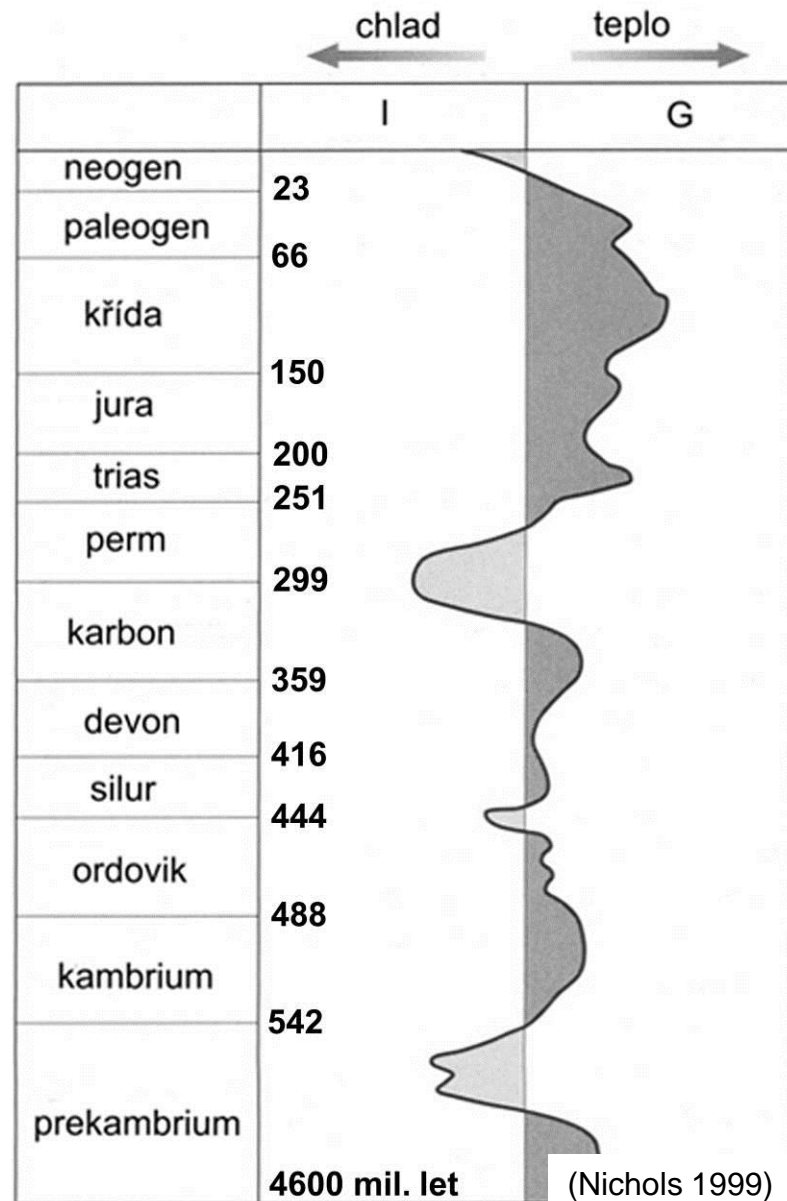
Klimatické výkyvy v geologické minulosti

- cyklické změny klimatu **nejsou** pouze záležitostí čvrtohor
- změny klimatu ovlivňují sedimentaci – v sedimentech můžeme rozlišit cykly 6 řádů:
 - **1. řádu**: trvání 250–400(500) mil. let, sledovatelné za poslední 2 miliardy, výrazně se mění hladiny oceánu (až stovky metrů)
 - **2. řádu**: trvání 10–100 mil. let
- oba tyto cykly souvisí s deskovou tektonikou (teplým tokem v kůře a pláště): pohybem litosférických desek, formováním a rozpadem kontinentů, rozpínáním mořského dna (vysoká hladina oceánu)
 - křivka ukazuje dvě maxima mořské transgrese (svrchní kambrum a křída) a jedno maximum regrese (jura)



Klimatické dopady cyklů 1. a 2. řádu

- desková tektonika ovlivňuje výšku hladiny světového oceánu a také globální klima
 - dlouhodobě vysoká hladina oceánu způsobuje klima „**skleníkového typu**“ – klima je teplé a stabilní
 - dlouhodobě nízká hladina způsobuje klima „**ledárenského typu**“ – klima je chladné a proměnlivé

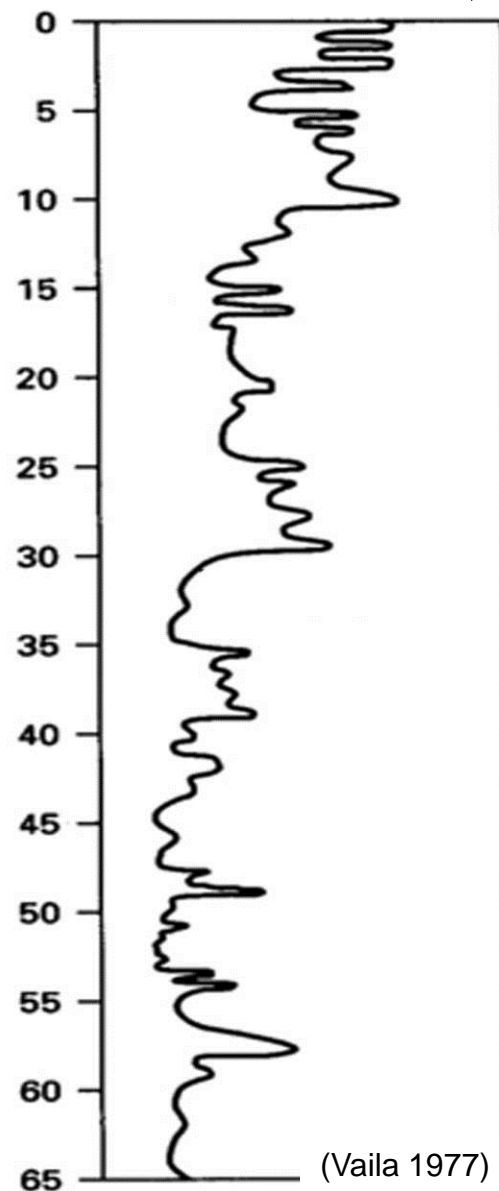


Pozn.: na konci permu došlo k největšímu vymírání (vymřelo 95 % známých rodů) většinou se nevysvětluje změnou klimatu

Klimatické výkyvy v geologické minulosti

- změny klimatu ovlivňují sedimentaci – v sedimentech můžeme rozlišit cykly 6 řádů:
 - **3. řádu**: trvání 1–10 mil. let, rovněž podmíněny rozpínáním mořského dna a lokálním vulkanismem, také jsou glacieustatického původu (pohyb kontinentů vlivem váhy ledovců)
 - **4.–6. řádu**: podmíněny astronomickými silami, tzv. Milankovičovy cykly
 - **4. řádu**: trvání 106–410 tis. let, cyklické kolísání excentricity oběžné dráhy Země
 - **5. řádu**: trvání cca 41 tis. let, cyklické kolísání sklonu zemské osy (o 3°) k rovině oběžné dráhy (větší tepelné rozdíly na severní než na jižní polokouli)
 - **6. řádu**: trvání cca 25 tis. let, tzv. sumární lunisolární precesní perioda, zemská osa opisuje za tuto dobu dvojitou kuželovou křivku, vyvolanou přitažlivostí Slunce a eliptického tvaru Země, vliv má i Měsíc

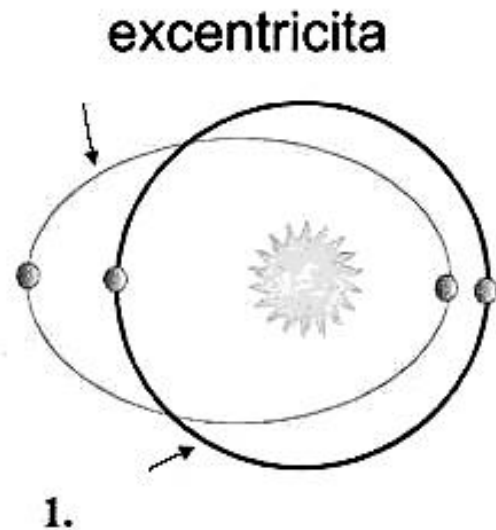
cyklus 3. řádu, mil. let
vzestup mořské hladiny



(Vaila 1977)

Milankovičovy parametry

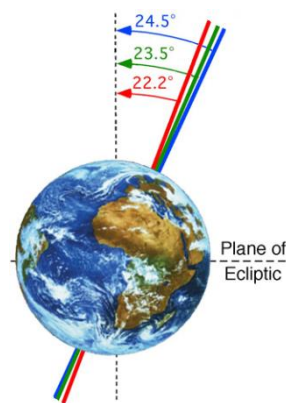
cykly 4. řádu,
106–410 tis.
let, odpovídá
glaciálům,
(supercykly
excentricity)



obliquita
nejmenší →
současná →
největší →



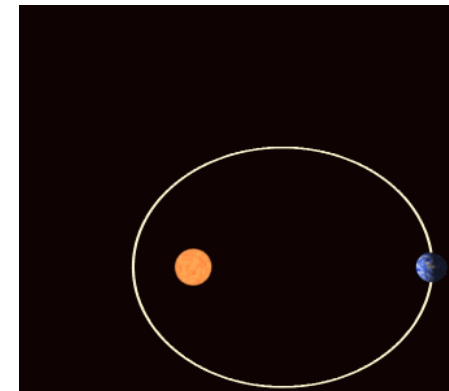
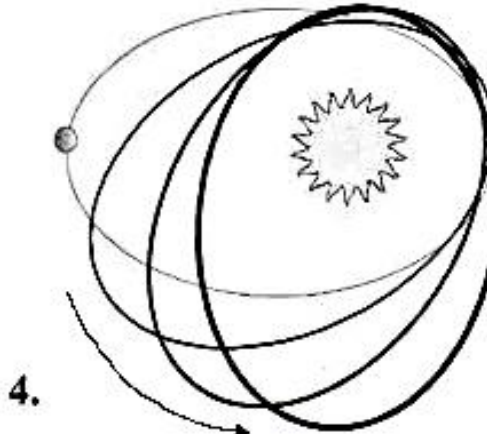
cykly 5. řádu,
41 tis. let,
odpovídá
glaciálům



cykly 6. řádu, 26
tis. let, odpovídá
glaciálům,
(precesní cykly)



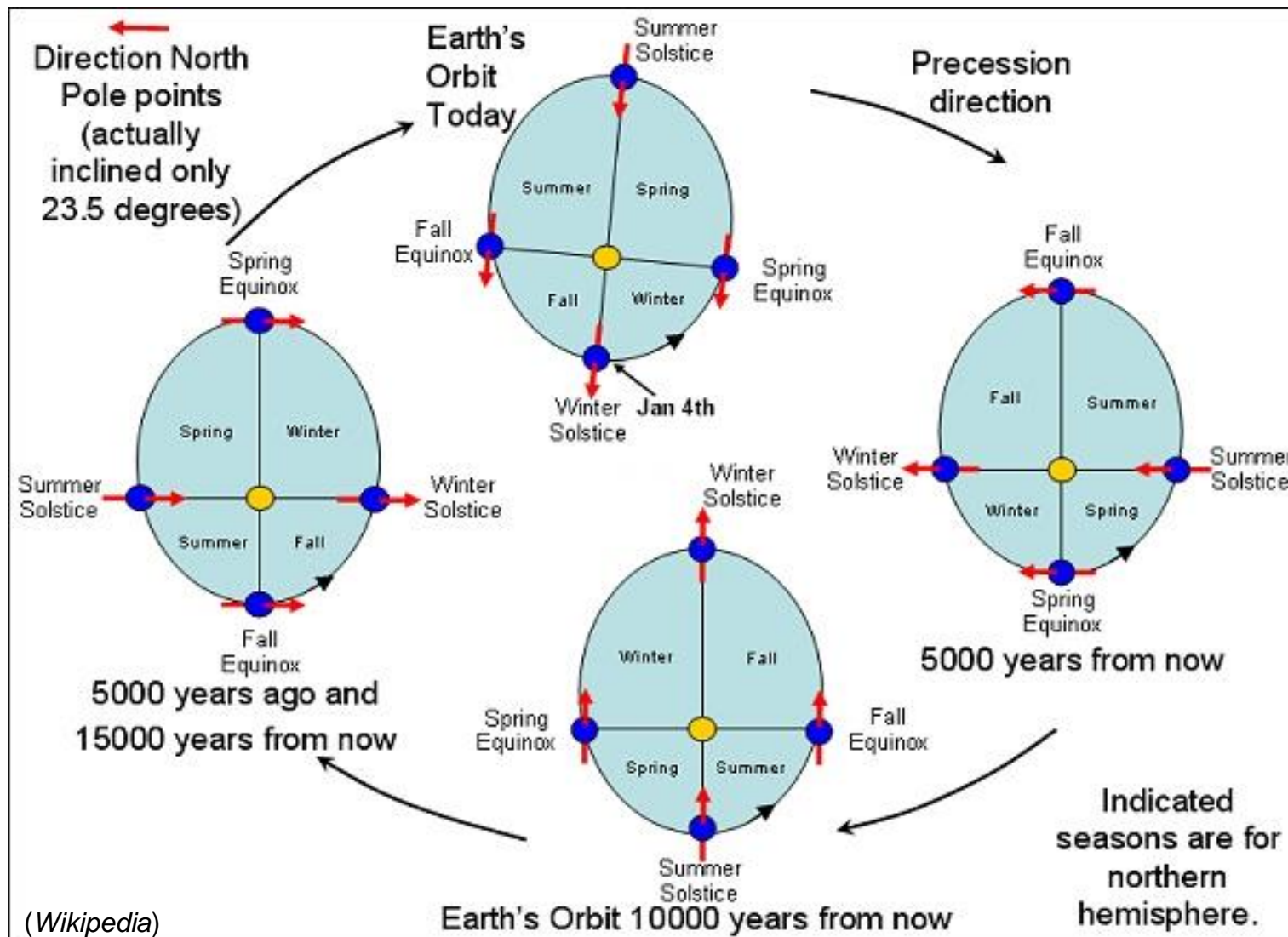
**precese elliptické
oběžné dráhy**



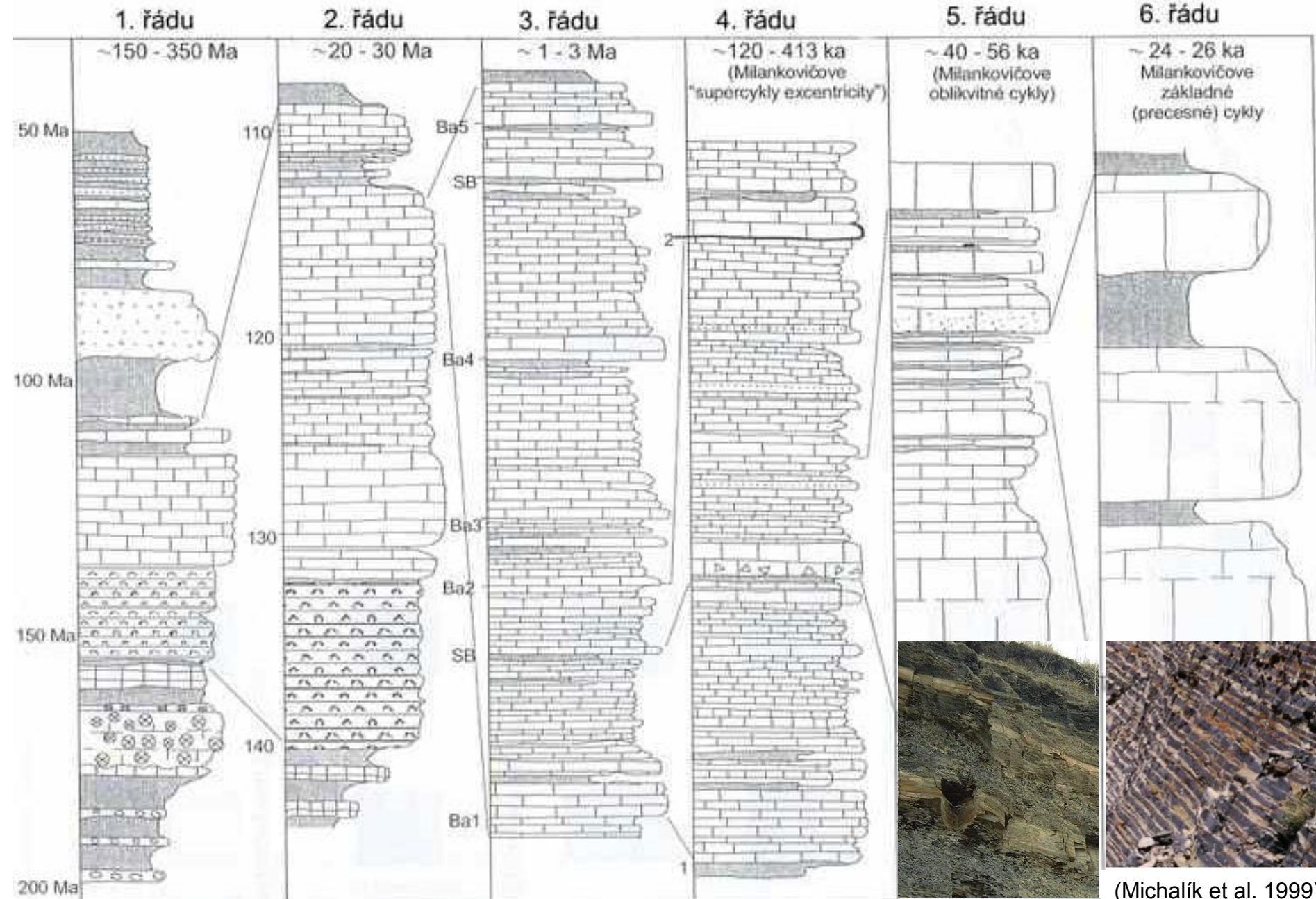
(http://en.wikipedia.org/wiki/File:Precessing_Kepler_orbit_280frames_e0.6_smaller.gif)

Vliv precese orbity v návaznosti na roční období

- všimněte si měnící se vzdálenosti od Slunce v určitém ročním období, severní pól přivrácen ke slunci (červená šipka) – jaro a léto na severní polokouli



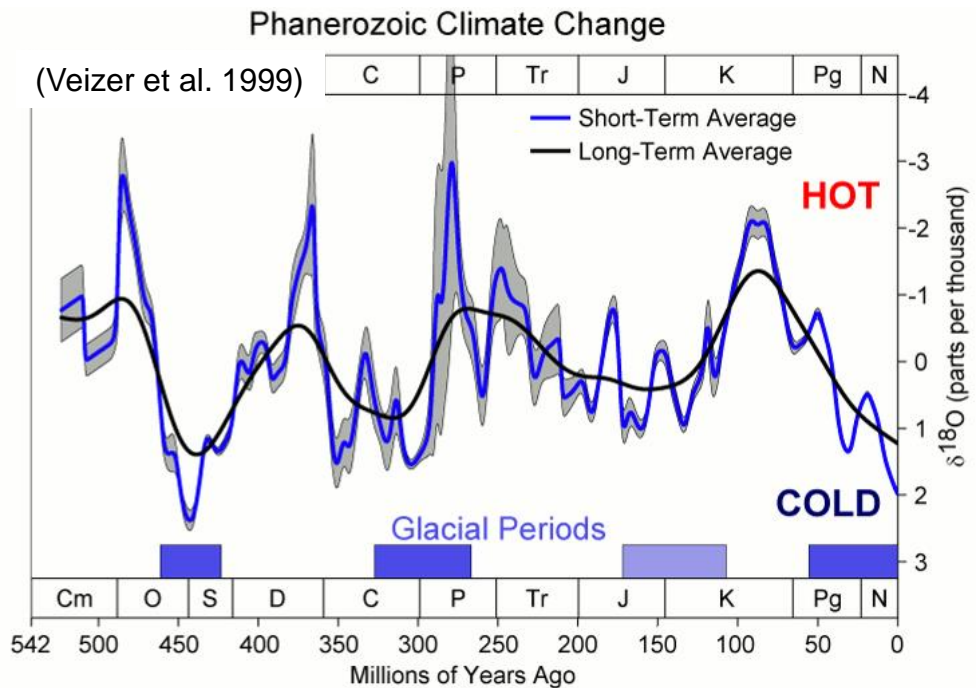
Základní cykly v sedimentačním záznamu



(Michalík et al. 1999)

Klimatické výkyvy v geologické minulosti

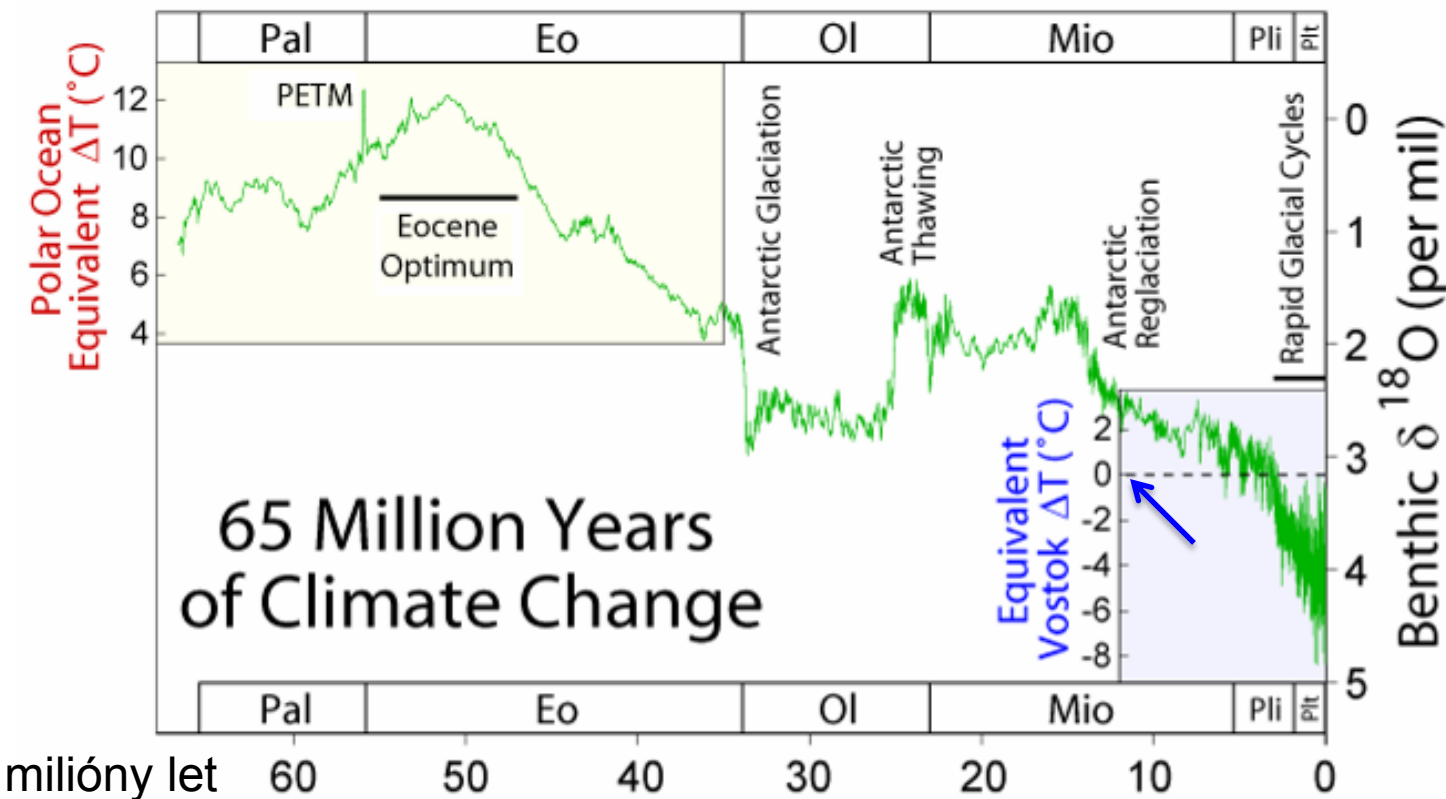
- „The Snowball Earth“ – nejrozsáhlejší zalednění v historii Země (pravděpodobně celé planeta pokryta ledem) v cryogenu, před cca 630 mil. let, přežití života v okolí hlubokomořských riftů (u tzv. hlubok. kuřáků)
- běžné situace v prekambriu, asi z důvodu o 15 % nižší koncentrace CO₂ (tepelné ztráty bez „skleníkových“ plynů v atmosféře)
- několik ledových dob i během fanerozoika



EON	ERA	PERIOD	EPOCH	Ma
		Quaternary	Holocene	0.01
			Pleistocene	0.8
			Late	1.8
			Early	3.6
		Pliocene	Late	5.3
			Early	11.2
		Miocene	Middle	16.4
			Early	23.7
		Oligocene	Late	28.5
			Early	33.7
		Eocene	Late	41.3
			Middle	49.0
		Paleocene	Early	54.8
			Late	61.0
			Early	65.0
	Cenozoic		Cretaceous	99.0
			Late	144
			Early	159
		Jurassic	Middle	180
			Early	206
		Triassic	Late	227
			Middle	242
			Early	248
		Permian	Late	256
			Early	290
		Pennsylvanian		323
		Mississippian		354
		Devonian	Late	370
			Middle	391
			Early	417
		Silurian	Late	423
			Early	443
		Ordovician	Late	458
			Middle	470
			Early	490
		Cambrian	D	500
			C	512
			B	520
			A	543
	Paleozoic		Late	900
			Middle	1600
			Early	2500
	Proterozoic		Late	3000
			Middle	3400
			Early	3800?
Precambrian	Archean			

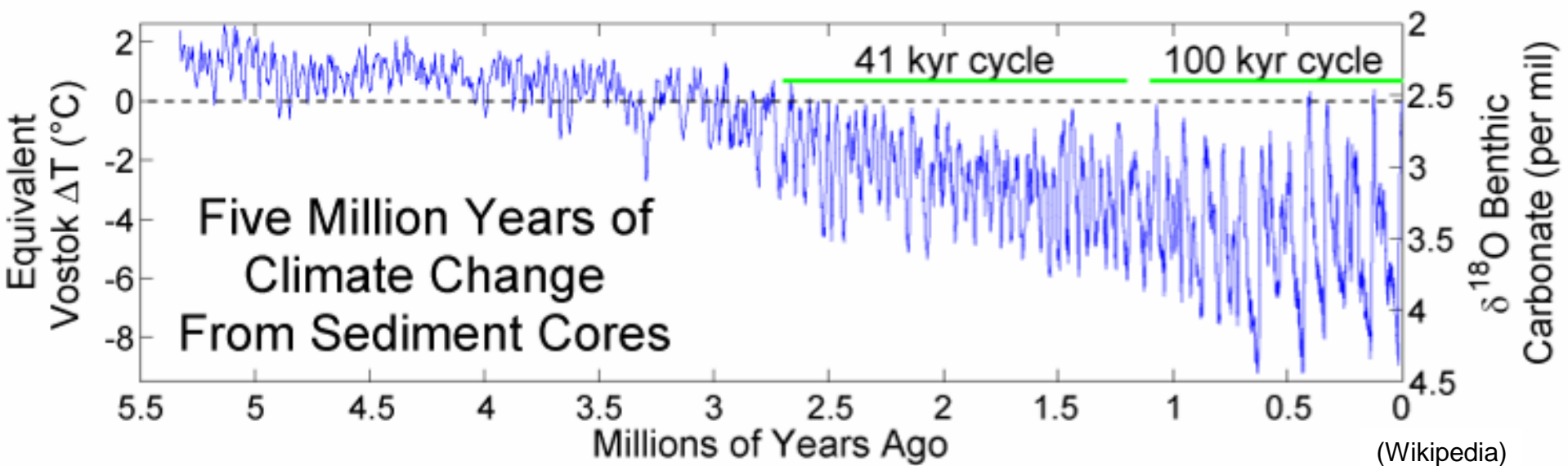
Klimatické výkyvy od třetihor

- vývoj teploty během posledních 65 milionů let, hodnota 0 (vpravo dole, viz šipka) odpovídá dnešní průměrné teplotě na Zemi
- první třetina třetihor výrazně teplá, poté trvalé ochlazování, ale s výkyvy
- před 34 mil. let tvorba antarktického ledovce, před 25 mil. taje a 13 mil. let expanduje zpět na dnešní stav
- grónský a severoamerický ledovec se začínají tvořit až před 3 mil., lety



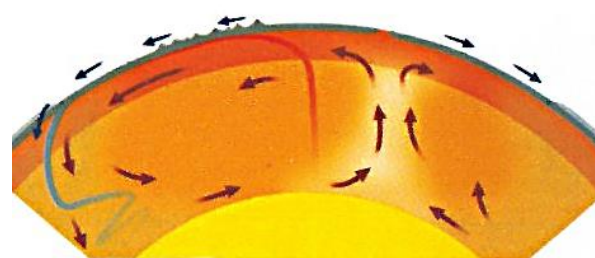
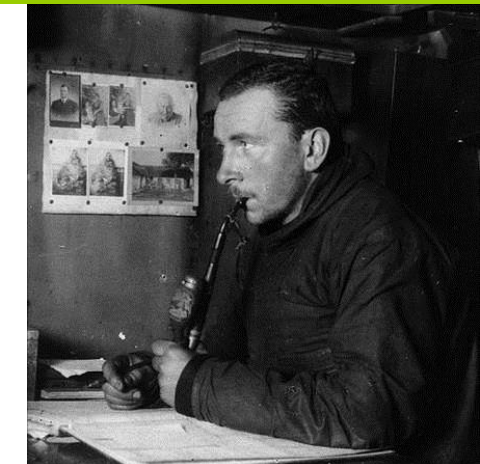
Klimatické výkyvy od třetihor

- koncem třetihor o něco tepleji než dnes, jen malé výkyvy
- pleistocén, zejména jeho druhá polovina, typický velkými a cyklickými výkyvy (glaciály a interglaciály)
- důvody nástupu ledové doby nejsou zcela jasné, souhra více faktorů:
 - pokles koncentrace skleníkových plynů (CO_2 a metan) v atmosféře (hlavně vlivem nižší vulkanické aktivity)
 - **pohyb kontinentů** – ovlivňuje hromadění sněhu a tím zvyšuje albedo, mořských proudů i proudění větru
 - změny planetárních parametrů (Milankovičovy parametry)
 - změny intenzity slunečního záření, dopady meteoritů

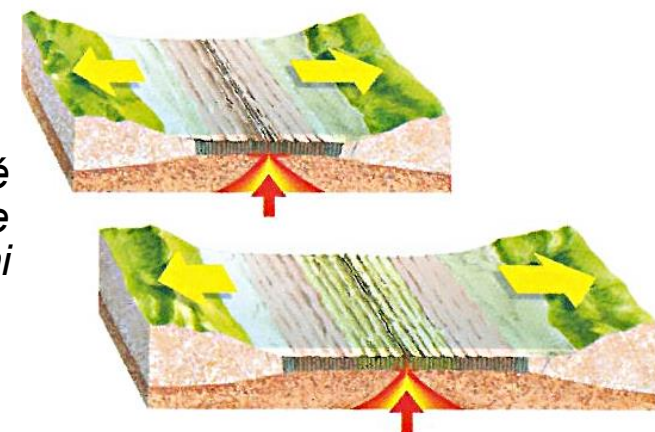


Teorie litosférické tektoniky

- Alfred Wegener (1880–1930): německý klimatolog
 - 1915: formuloval teorii kontinentálního driftu – shoda pobřeží Jižní Ameriky a Afriky, a nově i analýza fosilií
 - kontinenty plují na tekutém plášti Země (**nepřesné**)
- dnes **teorie deskové tektoniky**: litosféra tvořená z desek, které se proti sobě posouvají jako skládačka po tekuté astenosféře (vlivem konvenčních proudů)



hluboké a pomalé konvenční proudy, které pohybují deskami

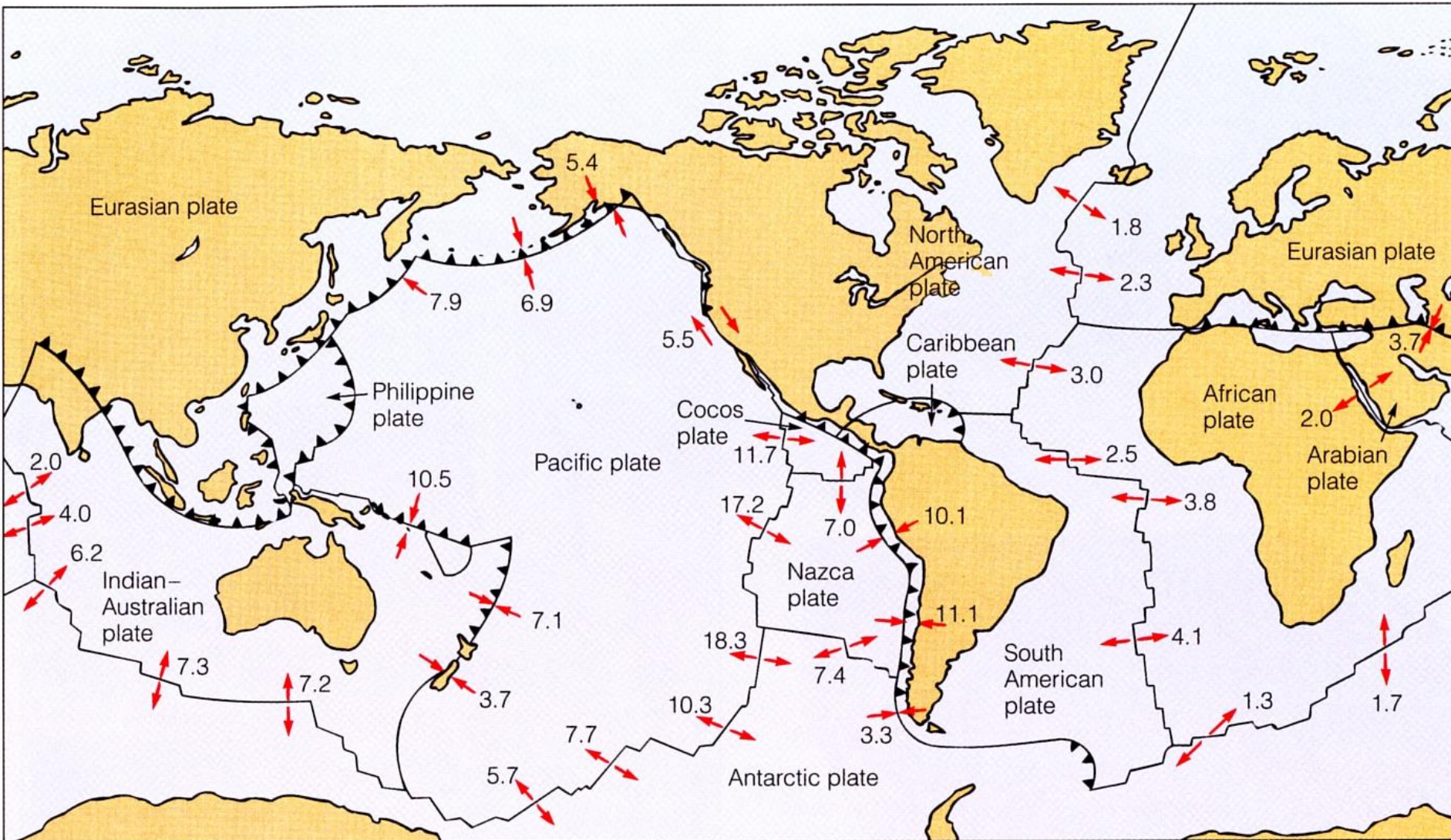


proces rozšiřování mořské dna mezi vzdalujícími se deskami

dobová karikatura inspirovaná Wegenerovou teorií (Dawkins 2009)

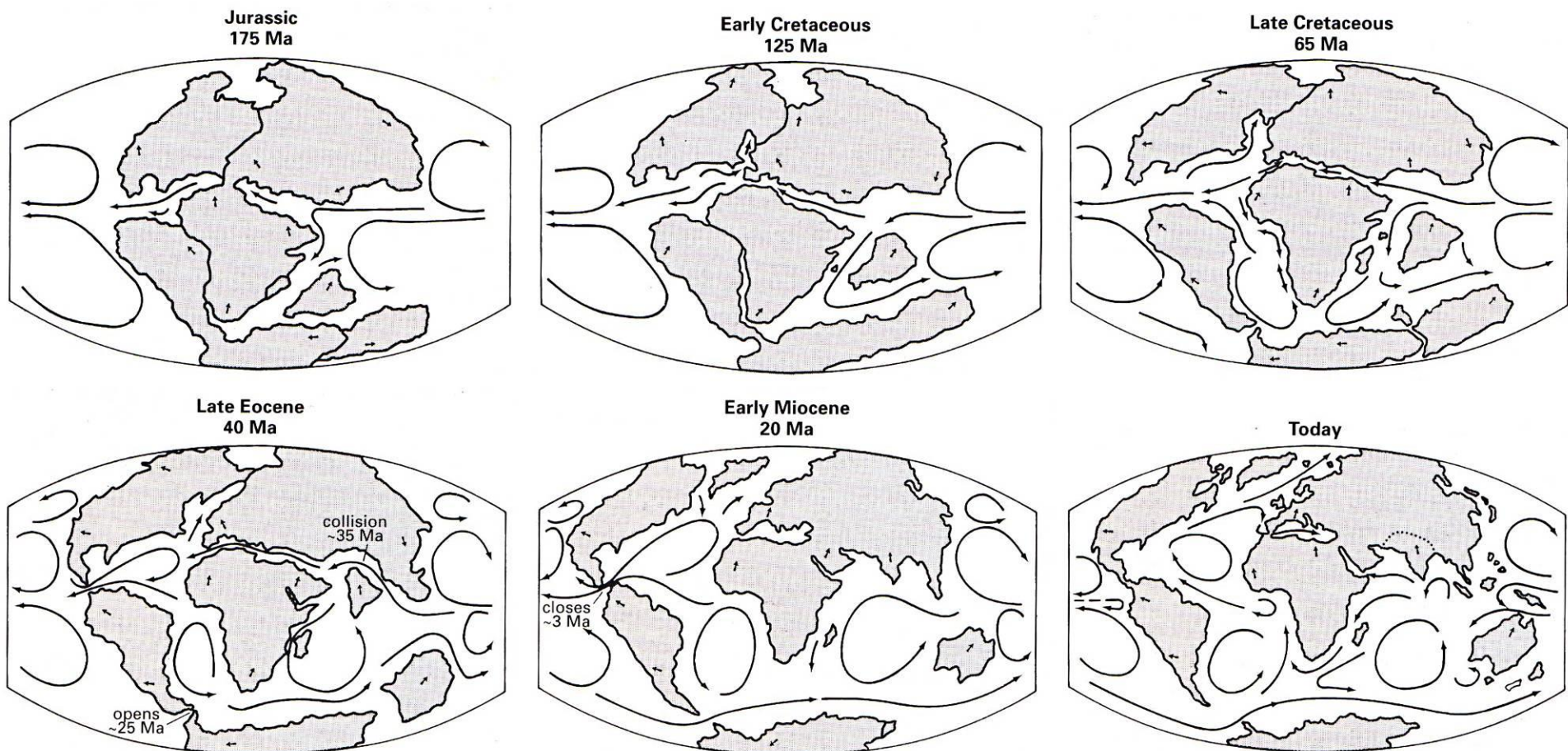
Rozložení a pohyb litosférických desek

- současná rychlosť pohybu litosférických desek (cm/rok), (přirovnává se k rychlosti růstu nehtů)



Rozložení kontinentů – změny mořských proudů

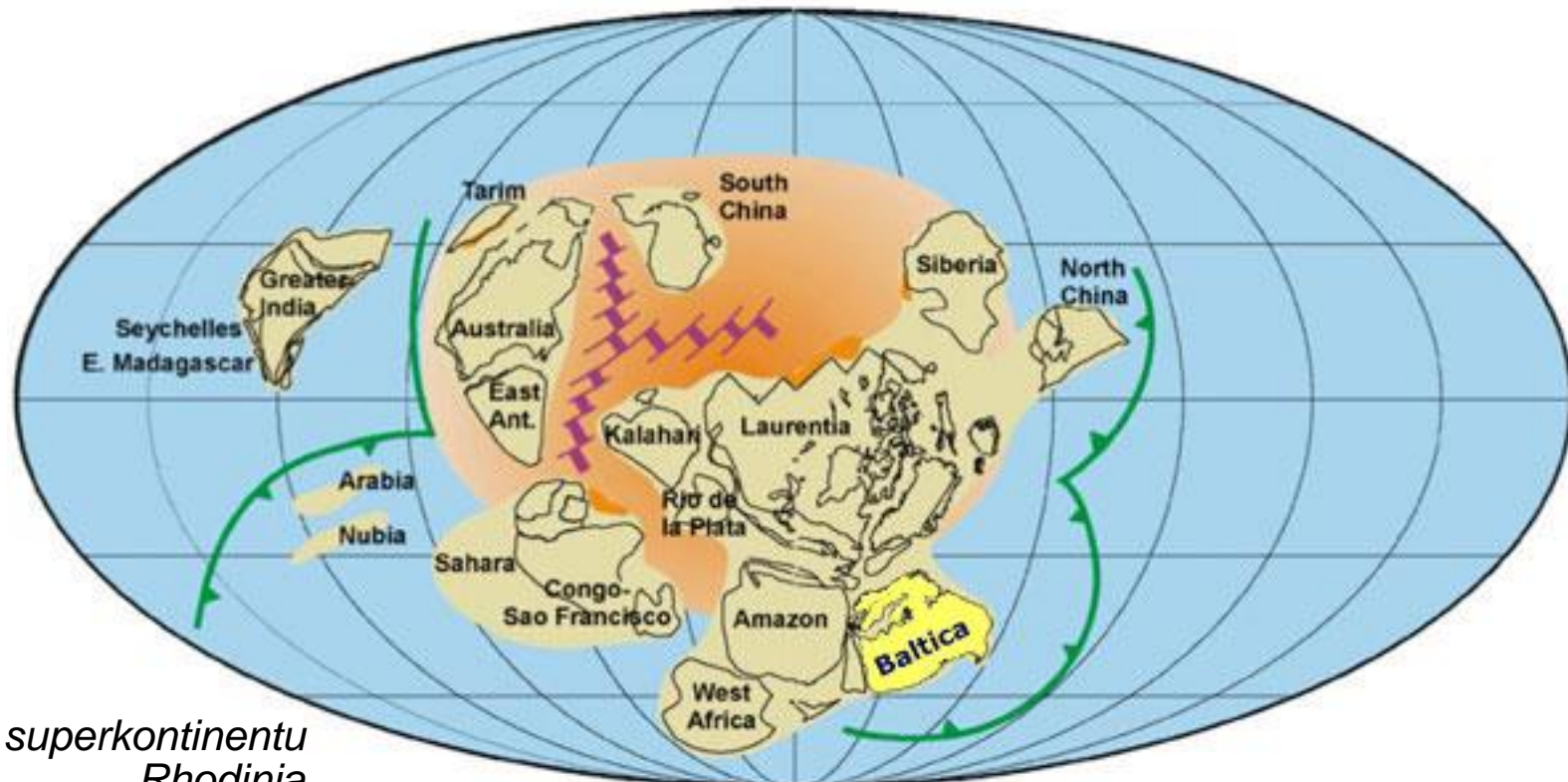
- změny polohy kontinentů a jejich vliv na mořské proudy během posledních 175 mil. let
- Jura – počátek rozpadu superkontinentu Pangea; až o něco později se začíná rozpadat jižní Gondwana



(podle van Andel 1985 a Strahler & Strahler 1987)

Pozice kontinentů a glaciální periody

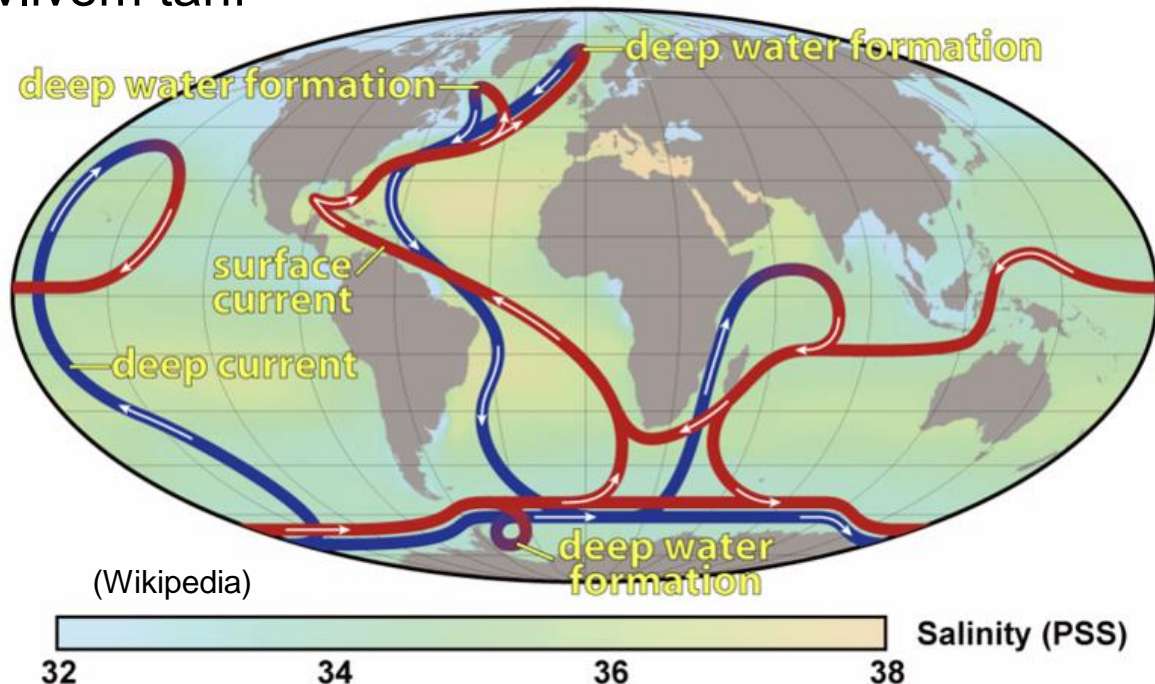
- tři možné pozice kontinentů, které blokují či redukují proudění teplé vody od rovníku k pólům
 - kontinent sedí přesně na pólu (jako Antarktida dnes)
 - polární moře má povahu pevniny (jako Arktický oceán dnes)
 - superkontinent pokrývá většinu rovníku (jako Rhodinia v cryogenu, před 700 mil. lety – první superkontinent)



Rekonstrukce superkontinentu
Rhodinia

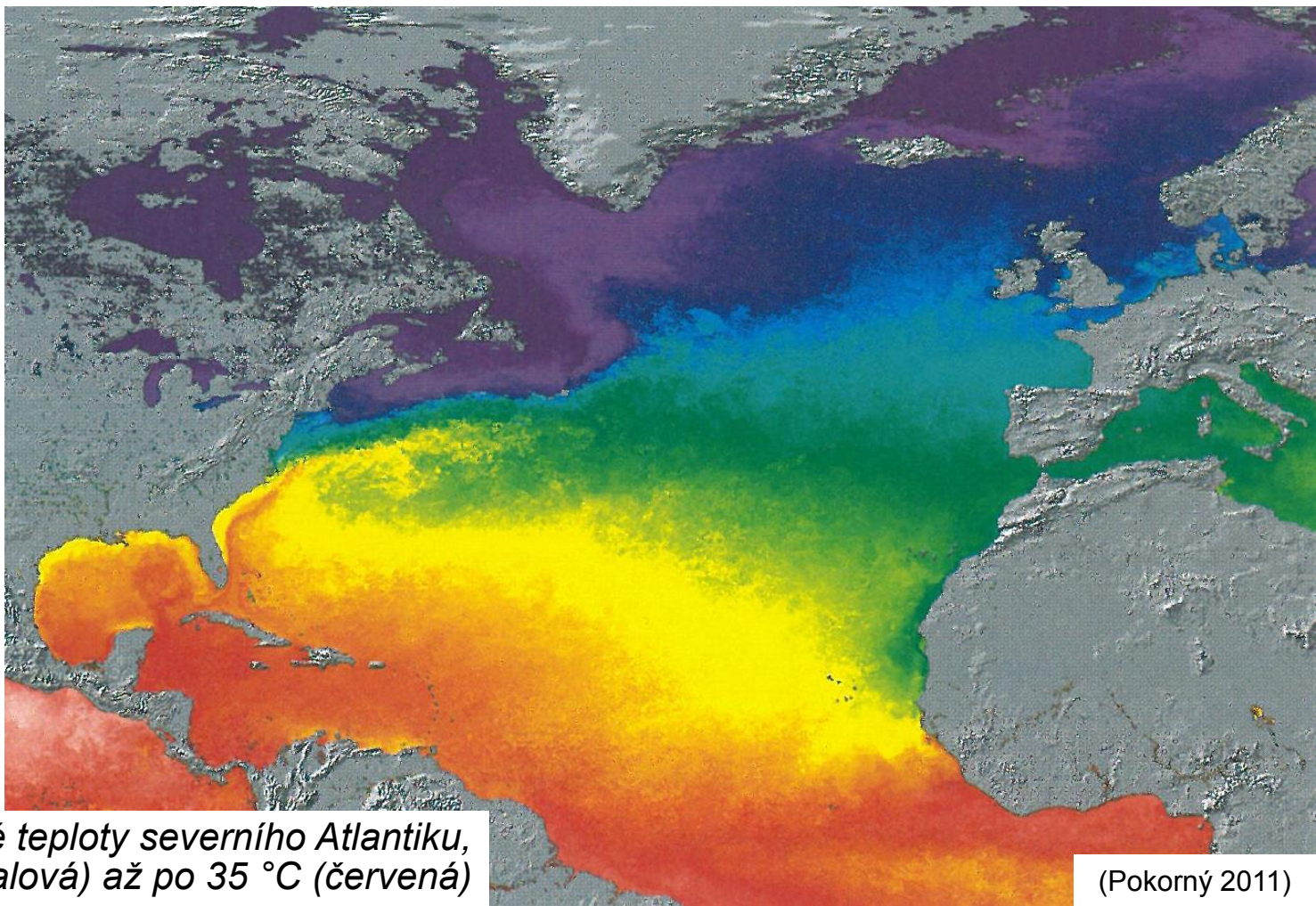
Pozitivní zpětná vazba a termohalinní oceánský výměník

- pro příchod glaciálu na konci třetihor pravděpodobně zásadní pozice kontinentů – dostatek pevniny v blízkosti pólu, kde se v zimě hromadí sníh
- Milankovičovy oscilace na konci třetihor – podoba glaciálů a interglaciálů
- pozitivní zpětnou vazbou se:
 - zvyšuje albedo – více záření se odrazí a méně absorbuje – pevnina se ochlazuje – tím se hromadí více sněhu – dále se zvyšuje albedo – atd.
 - následná redukce plochy lesa také zvyšuje albedo
 - oceánický termohalinný výměník – přenos tepla z tropů k pólům (Golfský proud), snížení salinity vlivem tání v teplých obdobích
 - porušení cirkulace
 - ochlazení
- naopak suché glaciální klima snižuje srážky potřebné k zalednění



Golfský proud a jeho vliv

- Golfský proud rozvádí teplo z rovníkových oblastí na pobřeží Evropy – porušením jeho cirkulace by došlo k výraznému ochlazení evropského klimatu (tak jako během glaciálů)

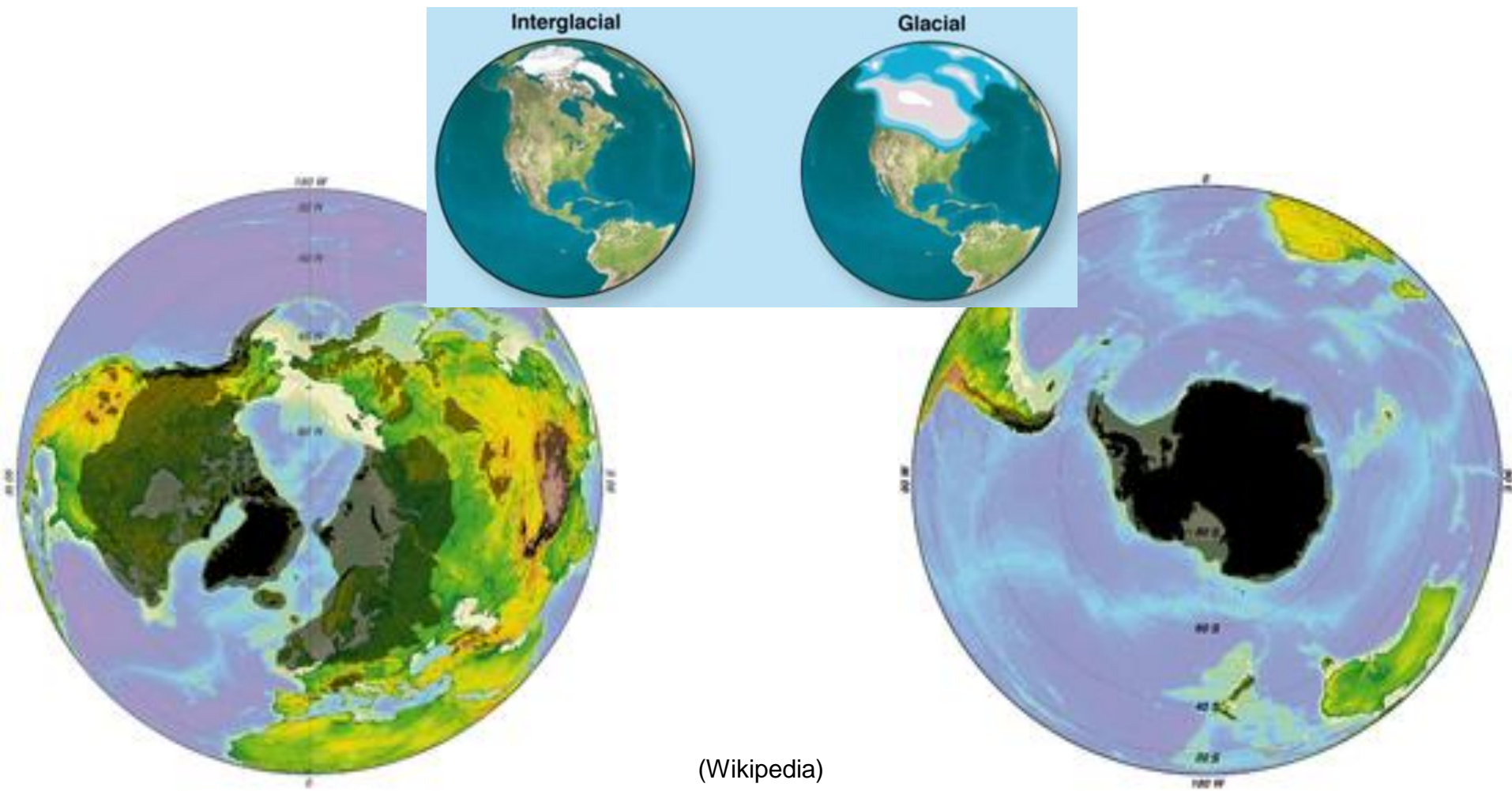


Současné povrchové teploty severního Atlantiku,
do 0 °C (tmavě fialová) až po 35 °C (červená)

(Pokorný 2011)

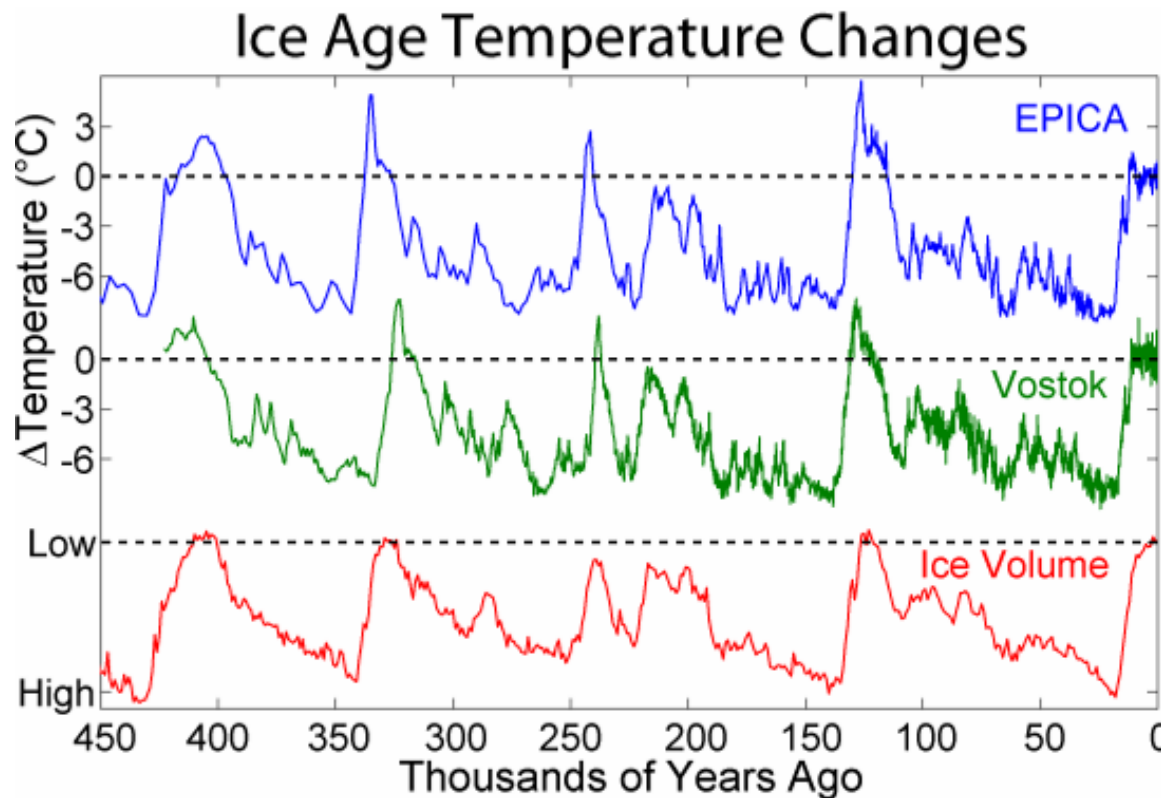
Kolísání arktického a antarktického zalednění

- rozsah minimálního (černě) a maximálního (šedě) zalednění severní a jižní polokoule
- rozdíly na severní polokouli jsou vyšší v řádech – význam zhuštění kontinentů u severního pólu



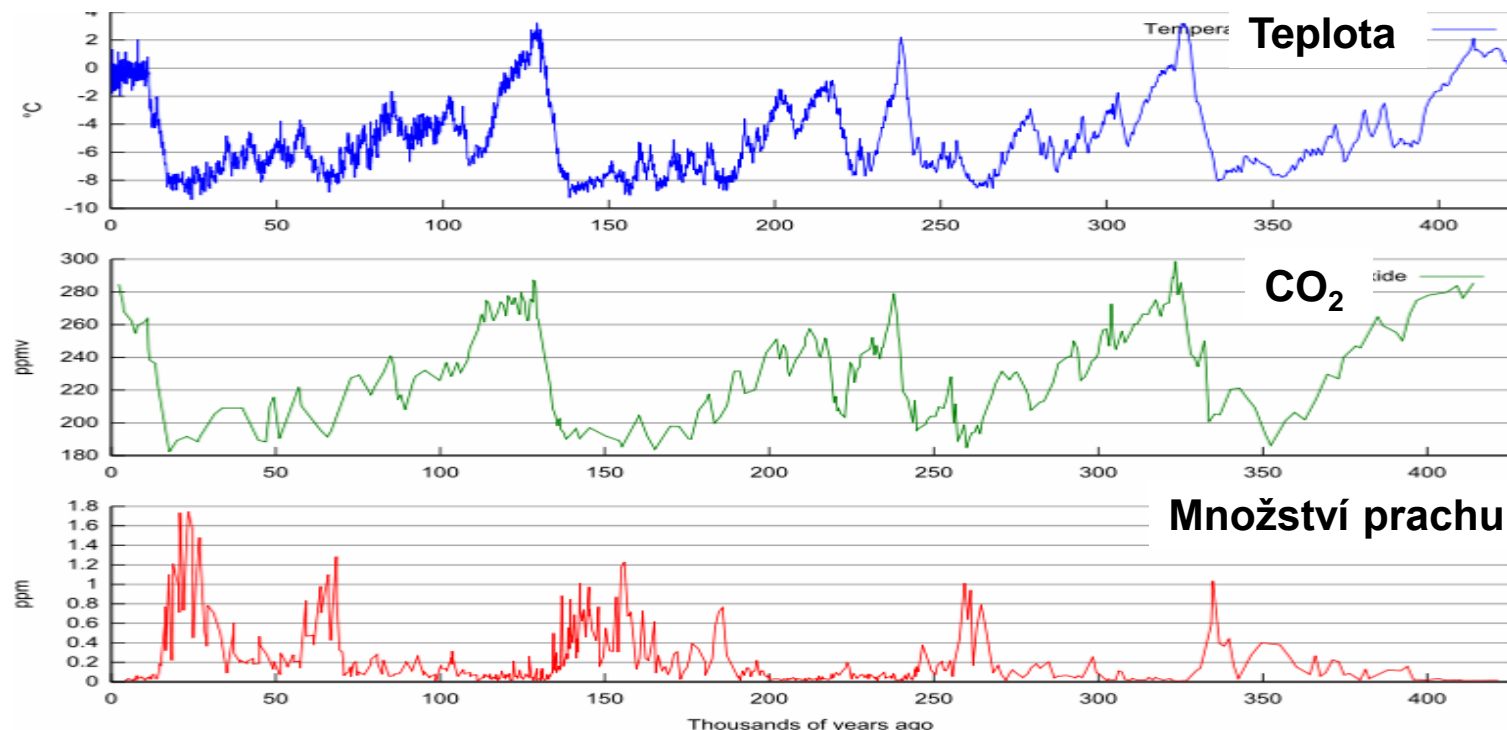
Vrty ledovcem – klíč k poznání klimatických změn

- s myšlenkou přišel už A. Wegener – 25 m hluboký vrt Grónským ledovcem
- technicky náročné, zvládnuto až na konci 80. let, vrty až do 3 km
- v Antarktidě několik vrtů (Vostok, EPICA, Dome C – stáří až 1 milion let)
- grónské vrty (GRIP, GISP2) mladší (100 tis. let), ale velmi podrobné – roční vrstvičky (díky vydatnějším srážkám – kvalitní chronologie)



Vrty ledovcem – měřitelné veličiny

- pH ledu odráží sopečnou činnost
- obsah a charakter prachových částic ukazuje na zdroj a celkové množství prachu v atmosféře (viz obr.)
- obsah těžkého izotopu kyslíku ($\delta^{18}\text{O}$) – dlouhodobé teplotní křivky
- obsah izotopu ^{10}Be je měřítkem intenzity kosmického záření (suma energie, kalibrace radiokarbonových datací)
- hlavně analýza paleoatmosféry ze vzduchových bublinek (korelace skleníkových plynů s globálními teplotami)



(Wikipedia)

Stratigrafie kvartéru: MIS a OIS fáze

- **MIS** = marine isotope stages, marine oxygen-isotope stages; **OIS** = oxygen-isotope stages
 - jedná se o milníky střídání teplých a chladných fází v paleoklimatu Země
 - odhadují se na základě obsahu a poměru izotopů kyslíku (^{18}O a ^{16}O) z vrtů mořskými sedimenty, nověji i antarktickým či grónským ledovcem
 - základní myšlenka a klasifikace od C. Emilianiho: množství těchto izotopů se v kalcitu schránek organizmů mění v závislosti na teplotě okolní vody, nyní se přikládá **větší vliv změnám objemu kontinentálních ledovců**
 - více než 100 fází bylo nalezeno do současnosti (za posledních 6 milionů let), v budoucnu se předpokládá klasifikace za posledních 15 mil. let
 - fáze přesně odpovídají Milankovičovým cyklům, terestrickým sedimentům, dendrochronologickým i dalším údajům
 - MIS jsou však detailnější a úplnější než všechny terestrické ekvivalenty

sledy mořských sedimentů u pobřeží Grónska (Wikipedia)



Základní MIS fáze kvartéru

- **MIS 1** – 11 kya (= tisíců let), konec mladšího dryasu, označuje začátek holocénu
 - **MIS 2** – 24 blízko LGM
 - **MIS 3** – 60
 - **MIS 4** – 71 (74)
 - **MIS 5** – 130, včetně eemu, dále členěn na a-e subfáze:
 - MIS 5a – 84,74
 - MIS 5b – 92,84
 - MIS 5c – 105,92
 - MIS 5d – 115,105
 - MIS 5e – 130,115
 - **MIS 6** – 190
 - **MIS 7** – 244
 - **MIS 8** – 301
 - **MIS 9** – 334
 - **MIS 10** – 364
 - **MIS 11** – 427
 - **MIS 12** – 474
 - **MIS 13** – 528
 - **MIS 14** – 568
 - **MIS 15** – 621
 - **MIS 16** – 659
 - **MIS 17** – 712 (689)
 - **MIS 18** – 760 (726)
 - **MIS 19** – 787 (736)
 - **MIS 20** – 810 (763)
 - **MIS 21** – 865 (790)
- některé starší fáze, v mya (miliony let)
- **MIS 22** – 1.03 mya, označuje konec periody „Bavelian“ v Evropě
 - **MIS 62** – 1.75, konec periody „Tiglian“
 - **MIS 103** – 2.588, konec pliocénu a začátek pleistocénu

Místní chronologie kvartéru

- celkem přes 50 cyklů, ale významných je 5-7 koncových cyklů (intenzivní)
- terminologie se geograficky různí (např. pevninské vs. horské zalednění, Evropa vs. Amerika)

	Alpy	S America	S Evropa	UK	J Amerika		tis. let
Holocene				Flandrian		interglacial	present
11 550 let							- 12
	Würm	Wisconsin	Weichselian or Vistulian	Devensian	Llanquihue	glacial period	12 -
	Riss-Würm	Sangamonian	Eemian	Ipswichian	Valdivia	interglacial	110 -
	Riss	Illinoian	Saalian	Wolstonian	Santa or Gipping María	glacial period	110 - 130
Pleistocene	Mindel-Riss	Pre-Illinoian	Holstein	Hoxnian		interglacial (s)	200 -
	Mindel	Pre-Illinoian	Elsterian	Anglian	Río Llico	glacial period(s)	300/380 -
	Günz-Mindel	Pre-Illinoian		Cromerian*		interglacial (s)	455 -
	Günz	Pre-Illinoian	Menapian	Beestonian	Caracol	glacial period	620 -
							680

Členění kvartéru dle evropského dělení

- pro nás nejpoužívanější terminologie, alpská (vlevo) a severoevropská

holocén 11 550 let	mladší	subrecent subatlantik subboreál	(Chlupáč et al. 2002)
	střední	epiatlantik atlantik	
	starší	boreál preboreál	
pleistocén 2,588 mil. let	svrchní	würm riss–würm	weichsel eem
	střední	riss mindel–riss mindel günz–mindel	saale holstein elster cromer
	spodní	günz	menap waal eburon

Členění kvartéru u nás

počátek
tis. let

11,6

100

135

225

240

350

370

470

485

590

610

ca 1000

glaciál x interglaciál

holocén

viselský (Würm)

eemský

(Riss/Würm)

vartský (mladší Riss)

Treene

sálský (starší Riss)

holštýnský
(Mindel/Riss)

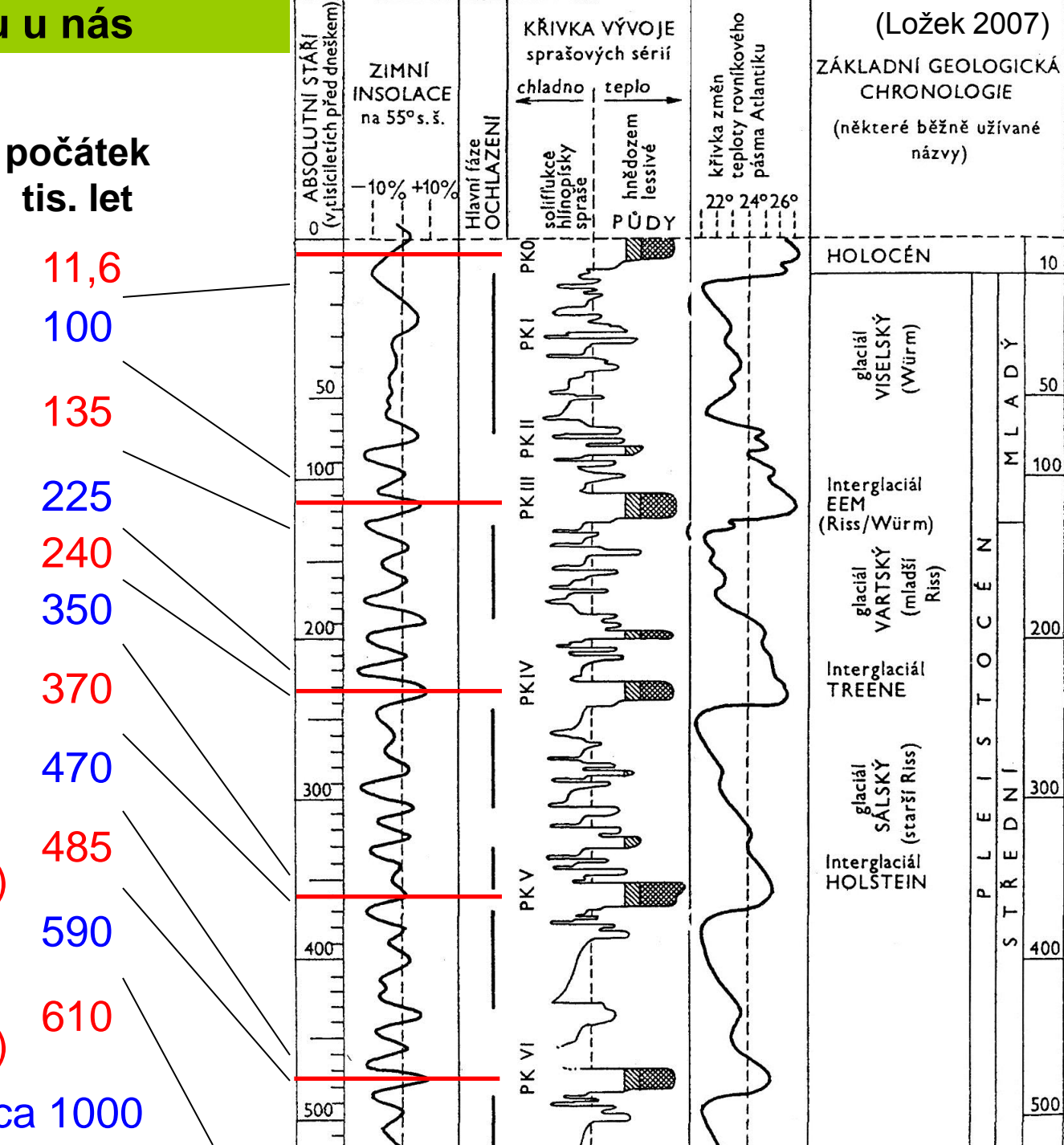
elsterský (Mindel)

cromerský
(Günz/Mindel)

weyourneský (Günz)

tegelénský
(Donau/Günz)

butleyský (Donau)

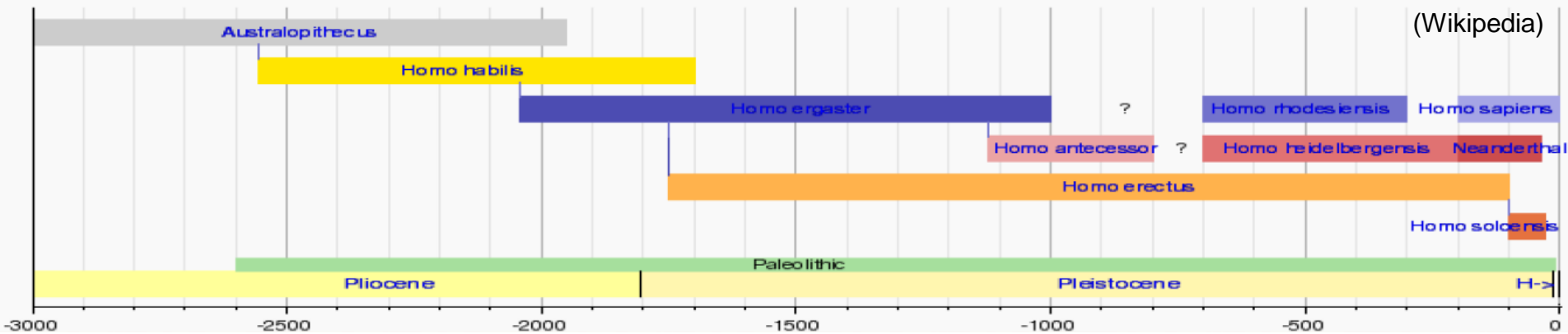


(Ložek 2007)

ZÁKLADNÍ GEOLOGICKÁ CHRONOLOGIE
(některé běžně užívané názvy)

Archeologické členění kvartéru

- **paleolit** (starší doba kamenná)
 - starší: 2,6–0,3 mil. let – *Homo habilis*, *H. ergaster*, *H. erectus*
 - střední: 0,3–0,04 mil. let – *Homo sapiens neandertalensis*
 - mladý: 40–13 tis. let – *Homo sapiens sapiens*
 - pozdní: 13–10 tis. let BP (cal.)
- **mezolit** (střední doba kamenná): 10–8 tis. let BP (cal.)
- **neolit**: 5200–4300 let BC
- **eneolit**: 4300–2100 let BC
- **doba bronzová**: 2100–800 let BC
- **doba železná**: 800–0 let BC

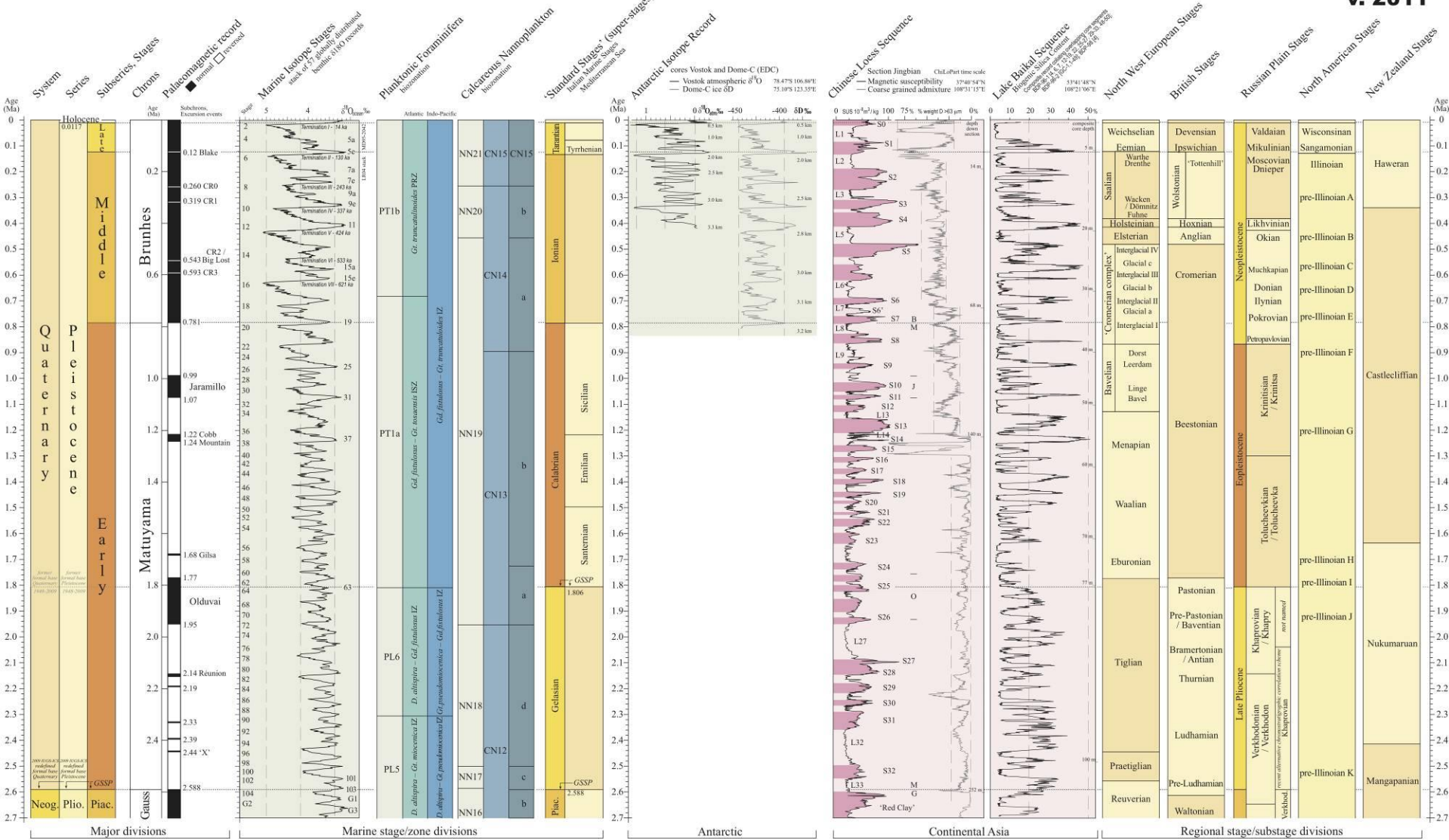


Srovnání stratigrafického členění na základě různých metod

- viz: <http://www.quaternary.stratigraphy.org.uk/charts/>

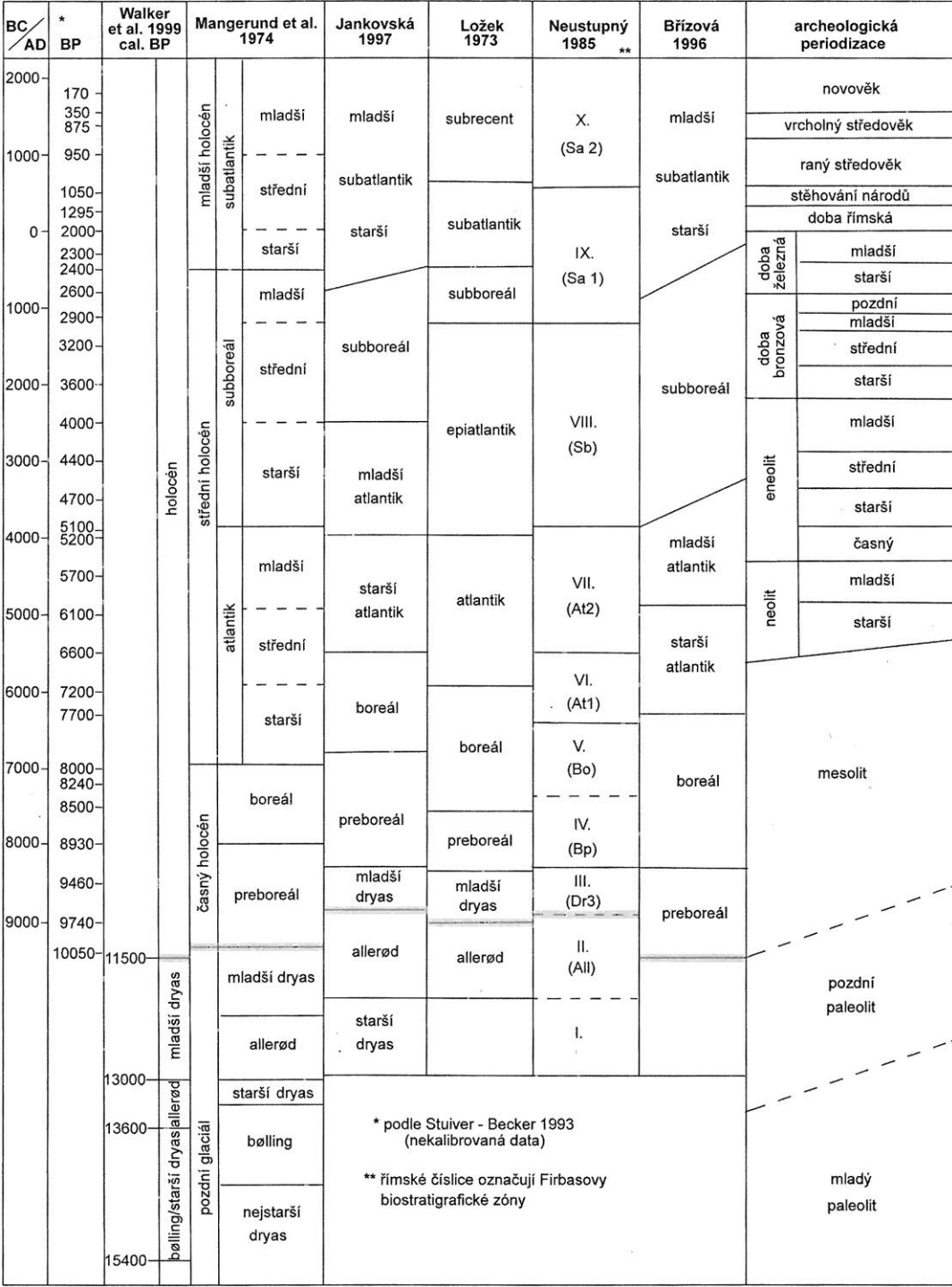
Global chronostratigraphical correlation table for the last 2.7 million years

v. 2011



Možná členění holocénu

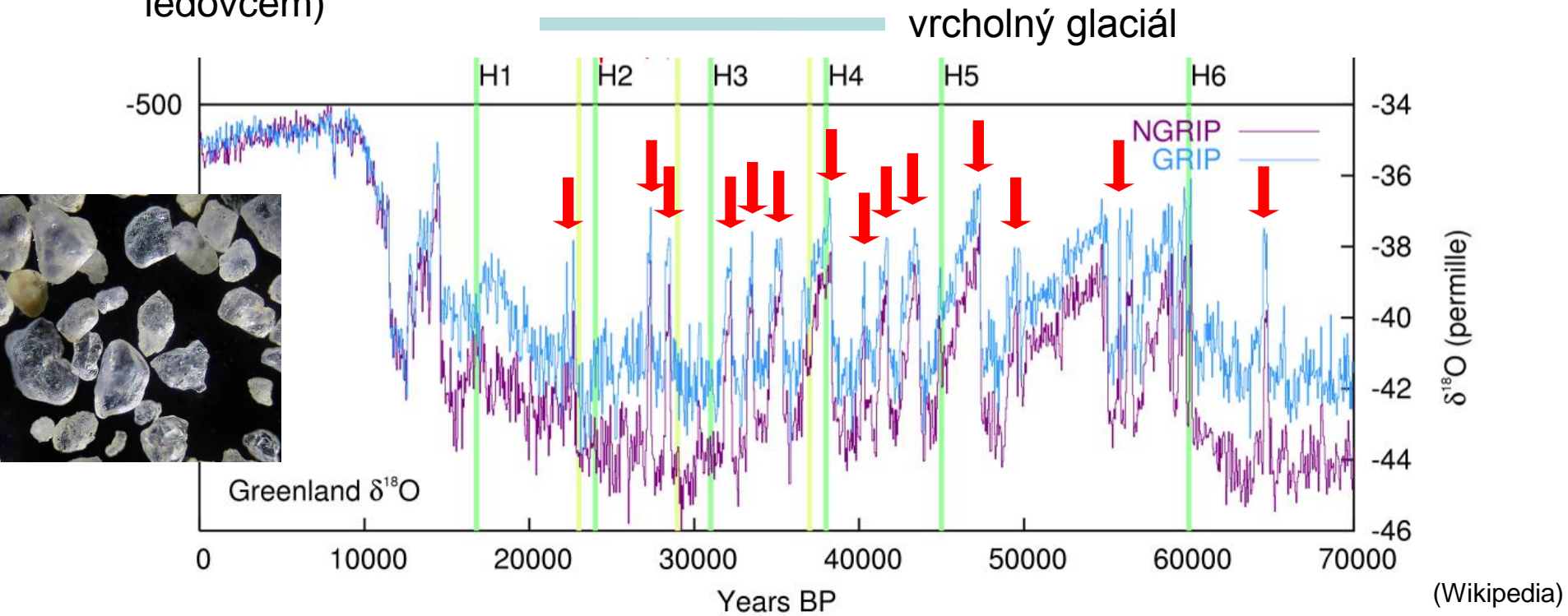
- chronologické a biostratigrafické členění pozdního glaciálu a holocénu



(Pokorný 2011, sestavila D. Dreslerová)

Dansgaard–Oeschgerovy a Heinrichovy události

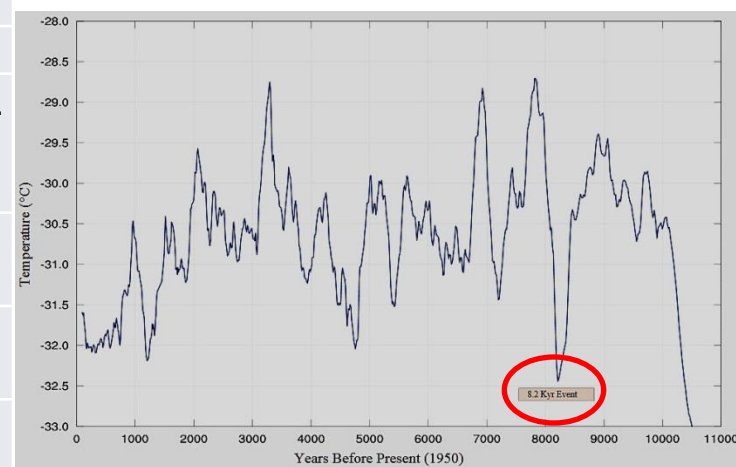
- „Dansgaard–Oeschger events“: během posledního glaciálu došlo k velmi rychlým a krátkodobým oteplením (asi 25 krát, viz červené šipky)
 - doloženo z vrtů Grónským ledovcem (doba od konce eemského intergalciálu)
 - vrty antarktickým ledovcem ukazují, že se totéž dělo i v předešlých glaciálech
- „Heinrich events“: uvolnění ledových mas do sev. Atlantiku při zemětřesení, tání ledu porušilo termohalinní cirkulaci – ochlazení klimatu, H1-6 (viz obr.)
 - odhaleny v oceánských sedimentech – 6 vrstev s vysokým podílem písku kontinentálního původu (až 3 mm – nemohly přinést proudy), dnes potvrzeno vrty ledovcem)



Bondův cyklus a Bondovy události

- Bondův cyklus popisuje cyklickou změnu sluneční aktivity (ca 1500 let)
- „Bond events“: klimatické fluktuace ca 1470 ± 500 let během holocénu
 - primárně doloženy střídáním sedimentů unášených ledovcem
 - změny sluneční aktivity – sesuvy ledovce do severního Atlantiku
 - interglaciální obdoba glaciálních Dansgaard–Oeschgerových událostí
 - většina nemá jasný klimatický signál: některé korelují s výrazným ochlazením (např. "slavný" event 8200), jiné z aridizací některých oblastí

Číslo	Datace (BP)	Možné důsledky
0	≈0.5 ka	Malá doba ledová
1	≈1.4 ka	Velké stěhování národů
2	≈2.8 ka	Sucho ve východním Mediteránu počátkem 1. st. BC, možný důvod kolapsu pozdně bronzové kultury
3	≈4.2 ka	aridizace Mezopotámie – kolaps Akadského impéria, konec starého Egypta
4	≈5.9 ka	extrémní aridizace, počátek vysychání Sahary, změna koryta Nilu
5	≈8.2 ka	"event 8,200" – výrazné a rychlé ochlazení (3,3 °C za 20 let!) na 2-4 století (ovál)
6	≈9.4 ka	"Erdalen event" glaciální aktivity v Norsku, chladný výkyv v Číně
7	≈10.3 ka	
8	≈11.1 ka	Přechod z mladšího dryasu do boreálu



Příčiny příchodu glaciálu – shrnutí

- kontinenty (teplotně nestabilní) v severských výškách (hromadění sněhu)
- pokles koncentrace skleníkových plynů v atmosféře
- porušení oceánické cirkulace – snížení rozvodu tepla od rovníku k pólům (změna salinity vlivem nárůstu ledovců)
- vyzdvižení Tibetského plato – porušení atmosférické cirkulace – vysušení atmosféry – snížení rozvodu tepla od oceánu ke kontinentu
- snížení plochy vegetace (hlavně tropických lesů) suchem a chladem – teplo ze slunečního záření se odráží
- všechny tyto faktory jsou v pozitivní zpětné vazbě (př. hromadění sněhu – roste albedo planety, růst ledovců, vysušení atmosféry, další ochlazování planety...)
- **tyto jevy zesilují účinek stále probíhajících Milankovičových cyklů**
- *pozn.: klimatolog William Ruddiman se pomocí modelování snaží dokázat, že lidstvo (zejména šířením zemědělství) ovlivňuje klima planety již ca 5000 let – "bez tohoto působení by údajně již přišel další glaciál"*

Literatura

- Dawkins R. (2011): Největší show pod Sluncem. Argo/Dokořán, Praha, pp. 246–256.
- Chlupáč I., Brzobohatý R., Kovanda J., Stráník Z. (2002): Geologická minulost České republiky. Academia, Praha.
- Ložek V. (2007): *Zrcadlo minulosti. Česká a slovenská krajina v kvartéru*. Dokořán, Praha.
- Pokorný P. (2011): Neklidné časy. Kapitoly ze společných dějin přírody a lidí. Dokořán, Praha.